

II-16 コンクリート桁の捩りに関する研究

北海道大学工学部

正員

横道英雄

"

○藤田嘉夫

"

黒崎 譲

最近コンクリート橋の設計計算は立体的に行われる傾向になって来ている。桁に作用する力は垂直荷重の外に捩りモーメントを伴うので、捩り剛性を如何に考えるかによって多主桁の分担荷重や版の解法に相違が生ずる。従来、捩りモーメントは自由捩りで計算されているが、桁の場合にはスパン方向の反りが拘束されるので、自由捩りの理論とそのまま適用するだけでは不十分であって、反りが拘束された捩りを考える必要がある。本研究は拘束力の影響がどの程度あるかを理論計算と実験によつて検討したものである。

1.自由捩り：スパン方向の反りが拘束されない自由捩りは $M_t = GI_t \theta'$ で表わされ、 I_t は開断面のとき $I_t = 2\pi b t^3$ 、閉断面のとき $I_t = \sum b t^3 + 4A^2/\phi_t^2 ds$ となり、かつ閉断面には剪断流 $q_B = 2A M_t / I_t \phi_t^2 ds$ が生ずる。

2.拘束捩り：桁の各点に捩りモーメント T が作用する場合、反りの拘束のため単純抵抗捩りモーメント m_t 以外に二次抵抗捩りモーメント \bar{m}_t が作用するので、 $m_t + \bar{m}_t = T$ となる。 \bar{m}_t は一般に $\bar{m}_t = -EC_w \theta''$ の形で表わされる。拘束捩り断面二次モーメント C_w は開断面では、 $C_w = \sum F r^2$ 、閉断面では \bar{m}_t が不静定力であることを考慮して、 $C_w = \phi \varphi^2(y, z) t ds$ となる。ここで φ はフランジの断面二次モーメント、 φ は曲げの剪断中心からフランジの作用点までの距離、 $\varphi(y, z)$ はスパン方向に無関係な反り函数である。したがつて拘束捩りの一般式は次の微分方程式で表わされる。

$$m_t'' - \lambda^2 m_t + \lambda^2 T = 0 \quad \text{ただし} \quad \lambda = \sqrt{\frac{GI_t}{EC_w}}$$

この微分方程式の一般解は $m_t = T + A \sin \lambda x + B \cos \lambda x$ で与えられ、図-1のように反りに対する両端単純支持、両端固定支持、一端単純他端固定の場合について解くと

(a) 単純支持の場合

$$A \sim C : m_t = \left[k' - \frac{\sin \lambda k' l}{\sin \lambda l} L_0 / \lambda x \right] M_t, \quad GI_t \theta = \left[k' x - \frac{\sin \lambda k' l}{\sin \lambda l} \cdot \frac{\sin \lambda x}{\lambda} \right] M_t$$

$$C \sim B : m_t = \left[-k' + \frac{\sin \lambda k' l}{\sin \lambda l} \cdot L_0 / \lambda (l-x) \right] M_t, \quad GI_t \theta = \left[k' (l-x) - \frac{\sin \lambda k' l}{\sin \lambda l} \cdot \frac{\sin \lambda (l-x)}{\lambda} \right] M_t$$

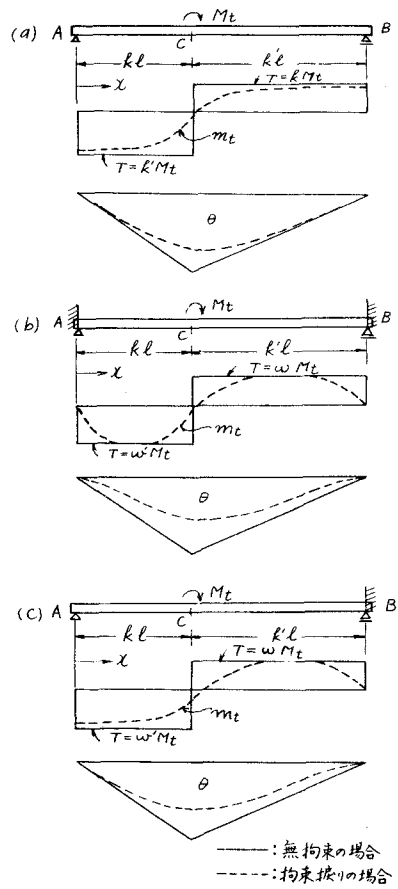


図-1

(b) 固定支持の場合

$$A \sim C : m_t = [\omega'(1 - \varepsilon_0/\lambda x) - A, \nu \sin \lambda x] M_t, \quad GI_t \theta = [\omega'(x - \frac{\nu \sin \lambda x}{\lambda}) - \frac{A'}{\lambda}(\varepsilon_0/\lambda x - 1)] M_t$$

$$C \sim B : m_t = [\omega(-1 + \varepsilon_0/\lambda(l-x)) + A_2, \nu \sin \lambda(l-x)] M_t, \quad GI_t \theta = [\omega(l-x - \frac{\nu \sin \lambda(l-x)}{\lambda}) - \frac{A^2}{\lambda}(\varepsilon_0/\lambda(l-x) - 1)] M_t$$

$$\text{こゝに } \omega = \frac{\lambda k l \varepsilon_0 / \lambda l - (\varepsilon_0 / \lambda l - 1) - (\varepsilon_0 / \lambda k l - \varepsilon_0 / \lambda k' l)}{\lambda l \nu \sin \lambda l - 2(\varepsilon_0 / \lambda l - 1)}, \quad \omega' = 1 - \omega, \quad A_2 = \frac{-\omega(\varepsilon_0 / \lambda l - 1) + \varepsilon_0 / \lambda k' l}{\nu \sin \lambda l},$$

$$A_2 = \frac{-\omega(\varepsilon_0 / \lambda l - 1) + \varepsilon_0 / \lambda k l}{\nu \sin \lambda l}$$

(c) 一端単純、他端固定支持の場合

$$A \sim C : m_t = [\omega' - B\varepsilon_0/\lambda x] M_t, \quad GI_t \theta = [\omega' x - \frac{B}{\lambda} \nu \sin \lambda x] M_t$$

$$C \sim B : m_t = [\omega(-1 + \varepsilon_0/\lambda(l-x)) + A \nu \sin \lambda(l-x)] M_t, \quad GI_t \theta = [\omega(l-x - \frac{\nu \sin \lambda(l-x)}{\lambda}) - \frac{A}{\lambda}(\varepsilon_0/\lambda(l-x) - 1)] M_t$$

$$\text{こゝに } \omega = \frac{\lambda k l \varepsilon_0 / \lambda l - \nu \sin \lambda l}{\lambda l \varepsilon_0 / \lambda l - \nu \sin \lambda l}, \quad \omega' = 1 - \omega, \quad B = \frac{\varepsilon_0 / \lambda k l - \omega}{\varepsilon_0 / \lambda l}, \quad A = \frac{\nu \sin \lambda k l - \omega \nu \sin \lambda l}{\varepsilon_0 / \lambda l}$$

3. 実験： 版とT桁、I桁について捩り角の実験を行った。 版は高さ全て3cmとし、巾は $\frac{1}{4}h = 1, 2, 4, 6, 10$ の5種類とした。桁はT桁、I桁とも高さおよび上部フランジが24cm、上部フランジ厚とウェッジ厚は3cm、I桁の下部フランジ厚は4.5cm、巾は6cmとした。支間長は版桁ともすべて200cmとした。

実験方法は版、桁の支間中央に偏心荷重を載荷して捩りモーメントを与える、図-2に示す点にダイヤルゲージを設置して捩り角θと捩りの中心を求めた。スパン方向の測定点は $\frac{1}{8}l, \frac{3}{8}l, \frac{5}{8}l, cl (25, 50, 75, 92\text{ cm})$ の4点である。

実験の結果、版に関しては自由捩りの理論式がそのまま適用できらるが、T桁は理論上は反りの拘束がないにもかかわらず、実際には反りの拘束が作用していること、および僅かな下部フランジを付けたI桁に関しては反りの拘束が相当あり、自由捩り式で算出される1%程度の捩り角しか実際には生じなかつた。

以上からT桁およびI桁の捩りに対する剛性は一般に使用されているSaint-Venantの方法によるものより反りの拘束の影響のため大きくなり、特にI桁において顕著であり、多主桁の荷重分担、および版の曲げモーメントにかなり影響を与えることがわかつた。

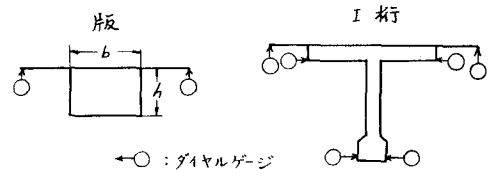


図-2

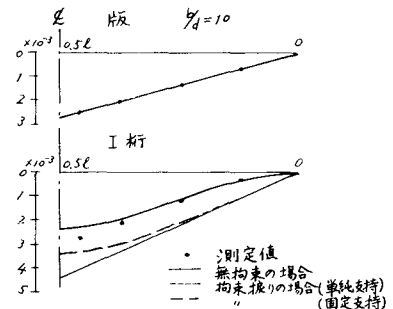


図-3